

## 11. JAK SE ZTRÁCÍ ENERGIE ZÁŘENÍ PŘI PRŮCHODU HMOTOU?

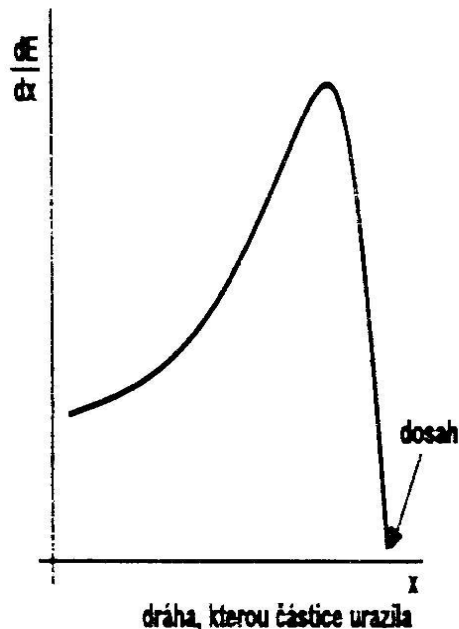
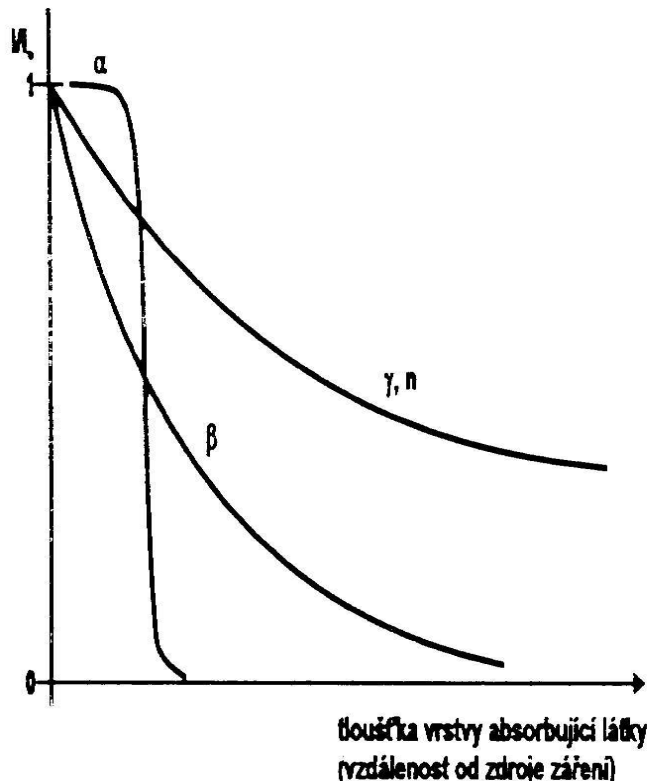
Pro lineární přenos energie platí:

$$L = \frac{dE}{dx} \div \frac{Z^2 n}{v}$$

Z ... nábojové číslo částice

n ... (hustota elektronů absorbujícího prostředí) počet elektronů  
v objemové jednotce

v ... rychlosť častic



## **α-částice**

**Dosah α-částic ve vzduchu** (je max. 10 cm )

$$R = 0,0033 E^{3/2}$$

(R vzdálenost v m, E v MeV)

### **Počet párů iontů na celé dráze α-částice ve vzduchu**

$$6,25 \cdot 10^4 R^{2/3}$$

R je v cm

- hustota elektronů v kapalinách a tuhých látkách je cca 1000x větší než v plynech
- lineární přenos energie je proto cca  $10^3$ x větší
- dosah záření je o tři řády kratší (pro α-záření jsou to desítky  $\mu\text{m}$ )

## **β-částice** (rychlé elektrony se spojitým spektrem energií)

- přenos energie je menší jako u α-částic
- příčinou je menší náboj elektronu a jeho větší rychlosť při stejně energii ( $v = \sqrt{2E/m}$ )
- ⇒ větší pronikavost (tedy i dosah) v absorbujícím prostředí

Dosah (v mm) β záření čtyř radioaktivních nuklidů v různých materiálech.

nuklid	$E_{max}$ (MeV)	vzduch	voda	hliník
${}^3\text{H}$	0,018	5,2	0,008	0,0026
${}^{35}\text{S}$	0,167	101	0,158	0,119
${}^{131}\text{I}$	0,81	2310	3,63	1,15
${}^{32}\text{P}$	1,71	5860	9,18	2,91

## Absorpční křivka pro $\beta^-$ záření

$$I = I_0 e^{-\mu d}$$

d - tloušťka vrstvy (m)

$\mu$  - lineární absorpční koeficient ( $m^{-1}$ ) – závisí na hustotě elektronů absorbujícího prostředí a energii  $\beta$ -záření

## Brzdné záření

- vzniká při průchodu  $\beta$ -záření látkou

Při průchodu rychlých nabitých částic látkou dochází vlivem Coulombické interakce s elektronovými obaly a s jádry atomů ke změnám rychlostí a směru pohybu částic - k jejich rozptylu. Rozptyl nabité částice na atomech pod velkým úhlem způsobí velkou a **rychlou změnu vektoru rychlosti s časem**, tj. velké "zrychlení" částice, což podle zákonitostí Maxwellovy elektrodynamiky vede k *emisi elektromagnetického záření* - fotonů tzv. **brzdného záření** X či  $\gamma$  se spojitým spektrem.

**$\lambda = 0,1 - 0,4 \text{ nm}$**

tj. **60 - 250 keV**

$$\frac{dE}{dx} \sim Z^2 E_\beta (\ln 2E_\beta)$$

⇒ **brzdné záření vzniká v prostředích v látkách s vysokým Z a při velkých energiích  $\beta$  - záření**

## Čerenkovovo záření

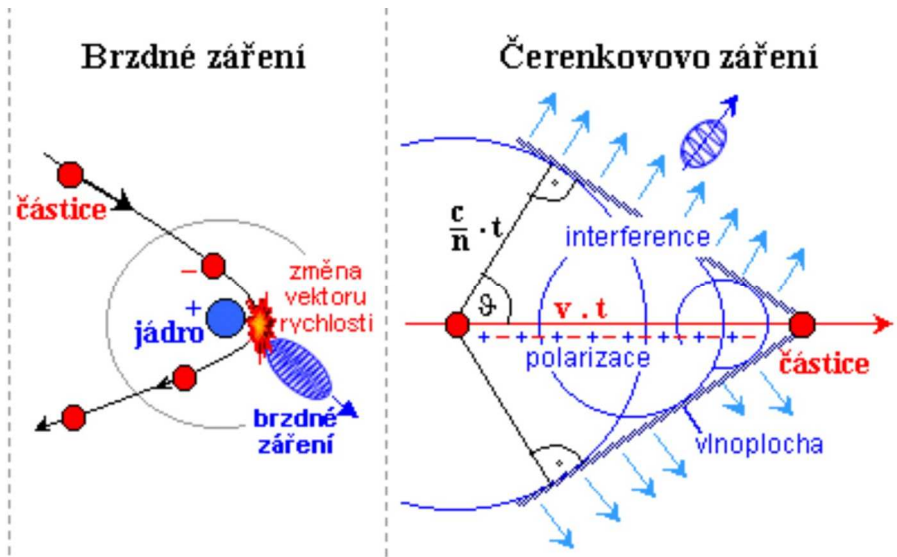
- modrofialové světelné záření
- vzniká při průchodu  $\beta$ -záření průhledným prostředím (voda, sklo)

- vzniká tehdy, je-li rychlosť  $\beta$ -častic v prostredí väčšia než rychlosť svetla v této látke

$$v_\beta > c/n$$

$n$  –index lomu prostredí

- $\beta$ -záření vytvárá při průchodu rázovou elektromagnetickou vlnu, která se projeví jako světelný záblesk
- ve vodě vzniká Čerenkovovo záření pro  $E_\beta > 0,26 \text{ MeV}$



# Interakce $\gamma$ -záření s hmotou

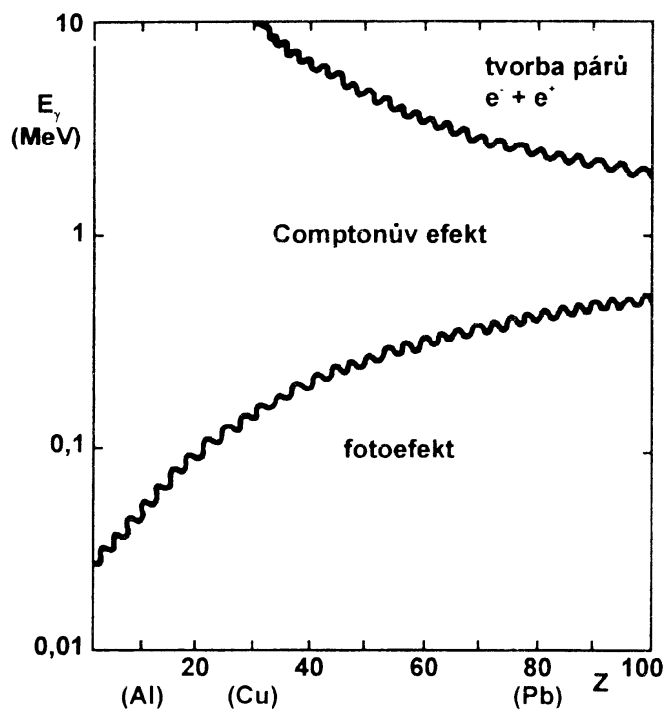
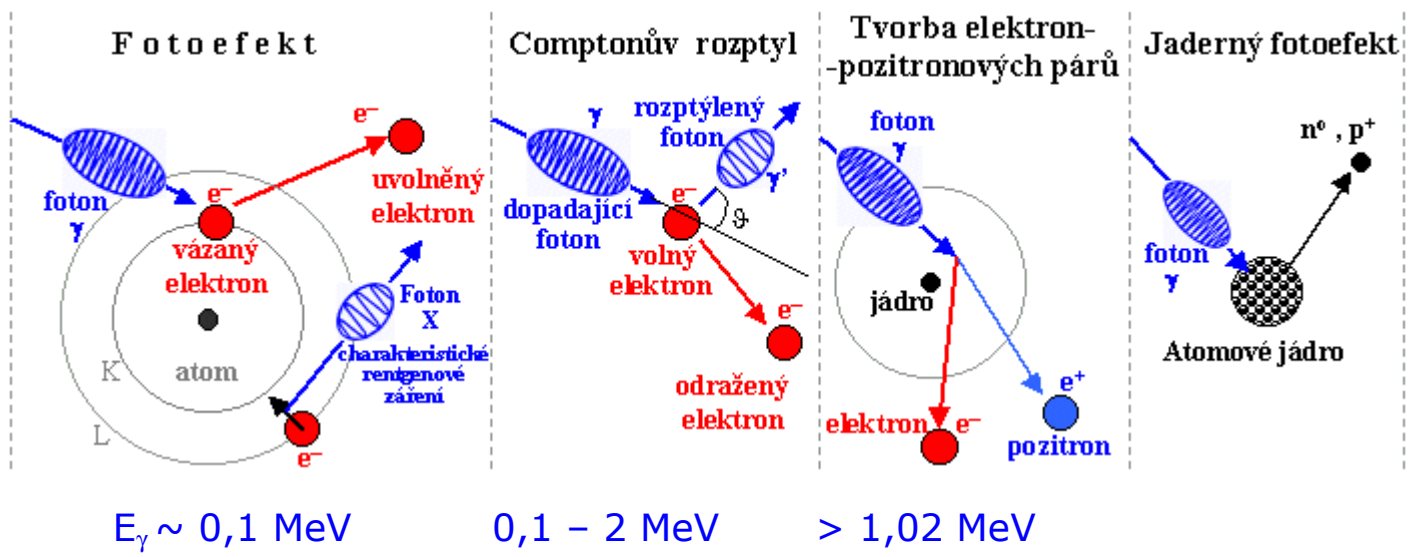
## Neionizující procesy

**Bez interakce** - kvantum záření může volně proletět mezi atomy látky. K tomu často dochází zvláště u tvrdého záření při průchodu lehkými materiály

- **Rayleighův koherentní rozptyl** záření na elektronech vázaných v atomovém obalu, při němž se přenáší pouze hybnost, nikoli energie (lehký foton se odráží od celého atomu, jehož hmotnost je mnohonásobně větší)
- 
- **Thomsonův rozptyl** na volných elektronech
- 
- **Excitace elektronů** na vnějších slupkách atomů, načež se při deexcitaci vyzařuje viditelné nebo infračervené záření

## Ionizující procesy

- $\gamma$ -záření neionizuje prostředí tak jako hmotné částice nesoucí náboj
- k ionizaci dochází nepřímo účinkem sekundárních elektronů, které v látce vznikají třemi ději

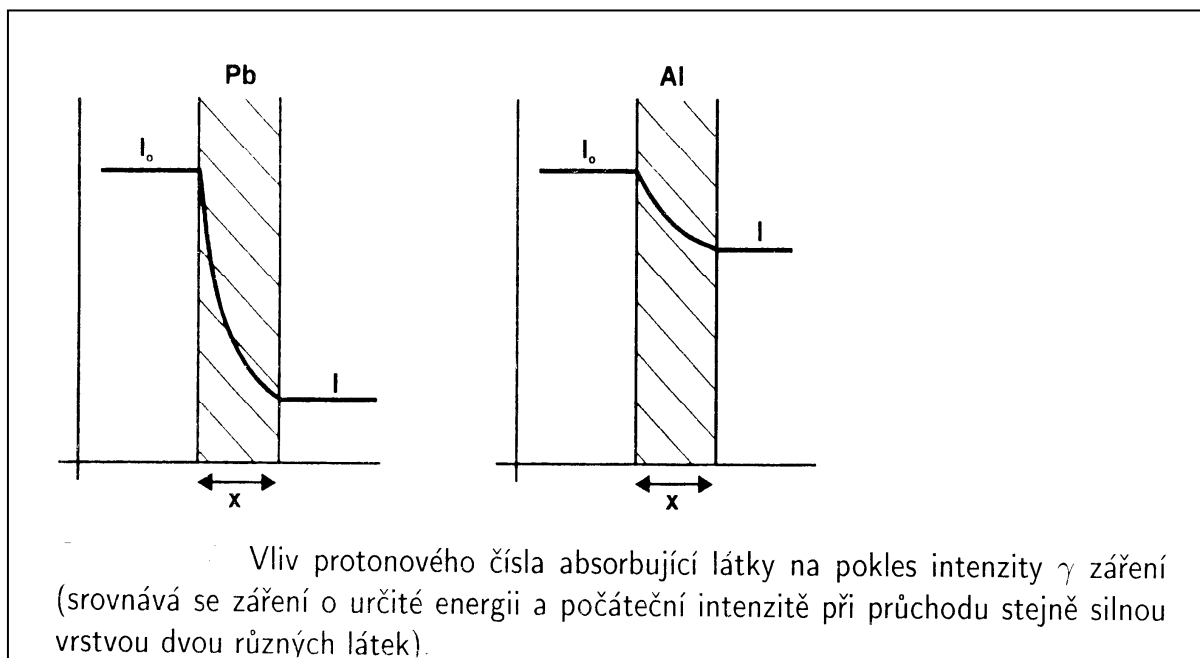


- sekundární elektrony způsobují ionizaci a excitaci podobně jako u  $\beta^-$  záření
- $\gamma$ -záření má velkou pronikavost  $\Rightarrow$  sekundární elektrony jsou řidčeji rozloženy kolem dráhy částice
- lineární přenos energie je malý a dosah záření velmi velký (často se nedá určit)

- zeslabení svazku  $\gamma$ -záření se řídí stejným vztahem jako u  $\beta^-$  záření

Lineární absorpční koeficient ( $\text{m}^{-1}$ )  $\gamma$  záření.

látka	1 MeV	3 MeV
lidská tkáň	7,0	3,9
cihly	12,9	7,4
beton	15,4	8,8
ocel	46	28
olovo	80	47
běžné sklo	14	8
olovnaté sklo	44	26



- protože často nelze určit dosah  $\gamma$ -záření, vyjadřuje se pronikavost tohoto záření pomocí tzv. **polotloušťky**, tedy jako tloušťka vrstvy látky, která zeslabí intenzitu záření na polovinu

$$I = I_0 / 2 \quad \dots \quad d_{1/2} = \ln 2 / \mu$$

Polotloušťky (cm) pro absorpci  $\gamma$  záření v některých látkách.

**Další**

$E_\gamma$ (MeV)	voda	beton	olovo
0,1	42	17	0,15
0,5	72	34	4
1,0	98	46	9,3
5,0	230	110	15

možnou interakcí gama záření s hmotou je:

**jaderná rezonanční fluorescence – Mössbauerův jev**

# Absorpce neutronů

- volné neutrony se spontánně rozpadají radioaktivitou  $\beta$ - s poločasem asi 12 minut na protony, elektrony a (anti)neutrina.
- Ionizaci prostředí způsobují až sekundární částice, jež vznikají při interakci neutronů s jádry atomů (odražená lehká jádra, záření  $\beta$ , protony, částice alfa, apod.)

Neutrony po vstupu do látky reagují téměř výhradně s atomovými jádry, a to čtyřmi způsoby:

## Pružný rozptyl

- neutrony ztrácejí při průchodu látkou svou energii srážkami s atomovými jádry

$$\Delta E = E \frac{4mM}{(m + M)^2}$$

$\Delta E$  úbytek energie neutronu při jedné srážce  
m hmotnost neutronu  
M hmotnost jádra

⇒ nejúčinněji se neutrony zpomalují při srážkách s lehkými jádry ..... při srážce neutronu s jádrem vodíku se  $\Delta E = E \Rightarrow$  veškerá energie se při jediné srážce přenese celá na proton, který získá značnou energii a opouští své místo (velké nebezpečí pro živé organismy).

## Nepružný rozptyl

- neutron opět předá část své energie jádru, avšak tato energie se spíše než na mechanický pohyb jádra spotřebuje na zvýšení vnitřní energie jádra - nastane **excitace jádra**.

Při návratu jádra do původního stavu (deexcitaci vzbuzených jaderných hladin) se vyzáří foton záření gama, který již vyvolává ionizaci mechanismy popsanými v předchozím odstavci (fotoefekt, Comptonův rozptyl, ...).

## **Klesne-li energie po srážkách pod $\sim 10^{-2}$ eV, pak zanikají jadernou reakcí ( $n,\gamma$ ) - radiační záchyt**

Záření gama pak již vyvolává ionizaci.

Další ionizace pak může nastat i následně a dlouhodobě: jádra, jež pohltila neutron, jsou často **radioaktivní** a rozpadají se za vyzáření dalšího ionizujícího záření, především beta.

**K látkám, které nejúčinněji zachycují neutrony, patří zvláště bor a kadmium**, které se proto používají jako stínící materiál pro neutronové záření a pro regulaci neutronového toku v jaderných reaktorech.

## **Jaderné reakce**

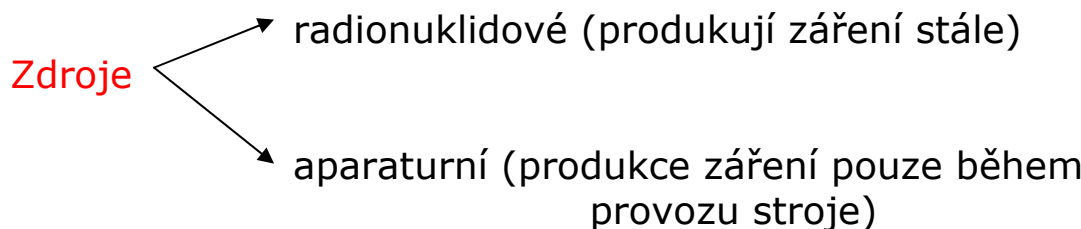
po vniknutí neutronu do jádra je emitována jiná částice, např. proton nebo částice alfa, které ionizují.

**$^{10}\text{B}(\text{n},\alpha)^7\text{Li}$  , pak ionty Li i  $\alpha$ -částice mají značnou energii a ionizační schopnost**

## **Zdroje ionizujícího záření**

Využívají se pro:

- laboratorní účely
- terénní aplikace
- průmyslové aplikace



## Záření elektronové

- je produkováno nuklidy, které je emitují:



- urychlovače elektronů (betatron, lineární urychlovač)

## Záření elektromagnetické

- $\gamma$ -záření:  $^{241}\text{Am}, ^{109}\text{Cd}, ^{57}\text{Co}, ^{55}\text{Fe}, ^{60}\text{Co}, ^{137}\text{Cs}, ^{192}\text{Ir}$

- zdroje rtg záření:

rentgenové lampy,  
radioaktivní nuklidы produkovující charakteristické rtg  
záření ( $^{109}\text{Cd}$ )  
radioaktivní nuklidы generující brzdné záření při  
absorpci  $\beta$ -záření  
urychlovače elektronů

## Záření pozitronové

radioaktivní nuklidы produkovující pozitrony:  $^{22}\text{Na}, ^{68}\text{Ge}$

## Zdroje těžkých kladných částic

radionuklidové zdroje  $\alpha$ -záření:  $^{210}\text{Po}, ^{226}\text{Ra}, ^{238}\text{Pu}, ^{241}\text{Am}$

urychlovače: cyklotron, lineární urychlovač

## Neutronové zdroje

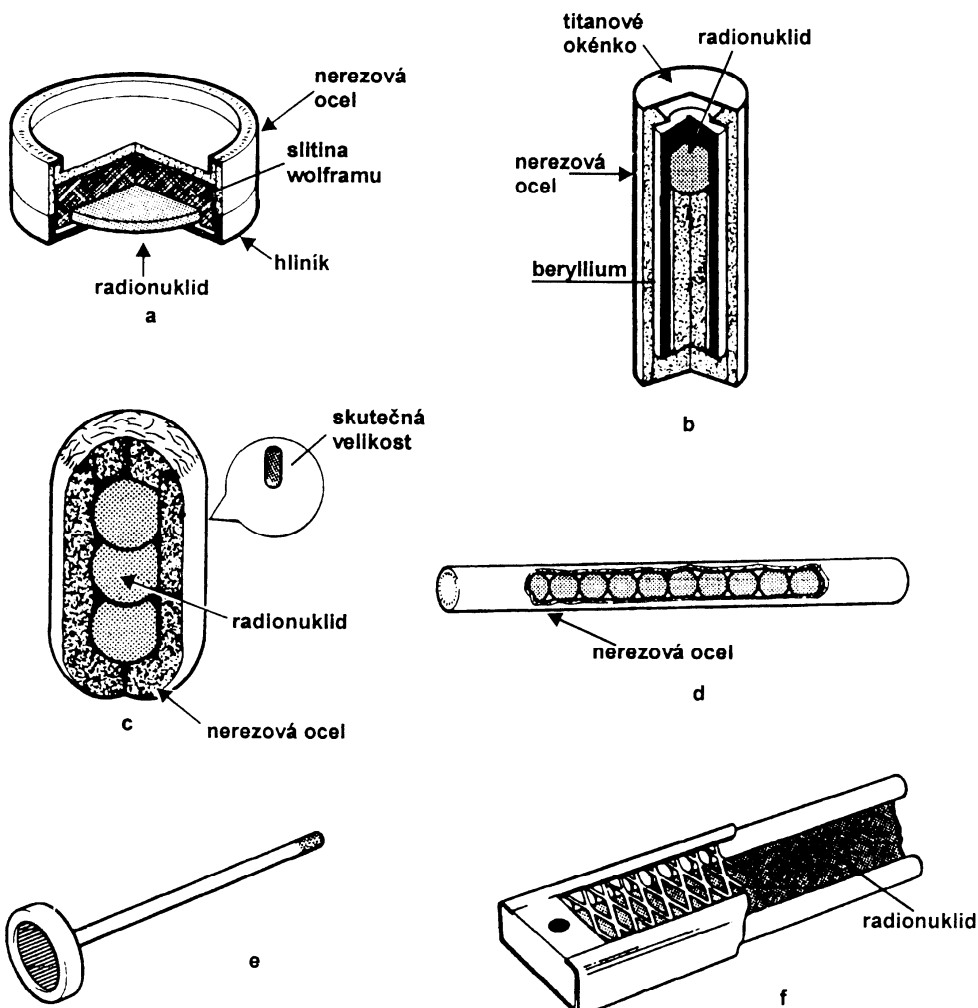
radionuklidové zdroje:  $(\alpha, n)$  a samovolné štěpení

neutronový generátor

jaderný reaktor

## Konstrukce zdrojů

- radionuklidové zdroje (nutno zaručit těsnost - uzavřený radionuklidový zářič **URZ**)



Provedení některých typů radionuklidových zdrojů ionizujícího záření (bližší popis v textu). Převzato z [6].